



Instituto Geológico
y Minero de España

Álbum Fotográfico

Documentación complementaria MAGNA
hoja E. 1:50.000

Torre de Juan Abad
839 (21-33)



21-33-IN-FL-Fo1.- Conglomerados con cemento carbonatado, carbonatos con cantos dispersos y dolomías a techo. Unidad carbonatada del Trías Inferior (20) en la carretera de Villamanrique a Puebla del Príncipe (Km 10).



21-33-IN-FL-Fo2.- En paso lateral y sobre los carbonatos anteriores se tiene una secuencia grano decreciente, que va desde conglomerados clasto soportados con matriz arenosa de color verde (Cu^{++}) hasta areniscas con grava dispersa y lámina cruzada de ripples. Abanico aluvial parte media distal. Unidad del Trías Inferior (19), Km 11,100 de la misma carretera.



21-33-IN-FL-Fo3.- Cuerpos de espesor métrico en gravas y areniscas de grano grueso a medio con estratificación cruzada en surco de media escala. Primer canal (cg), intercalado en los Conglomerados del Trías Inferior (19), Km 11,200 de la misma carretera.



21-33-IN-FL-Fo4.- Desde el mirador del Km 11,500 de esta carretera y en dirección norte, se observa: (cg) conglomerados del Trías Inferior (19), discordantes sobre las Pizarras de Graptolites silúricas (S) teñidas en violáceo. F, es el paso de la fractura de Villamanrique al norte, de las cuales sólo afloran las series del Trías Superior. Facies Keuper (23). En el margen superior derecho está el vértice Yesero (984) con los depósitos carbonatados del Lías Inferior (26) más meridionales de la Cobertura Tabular.



21-33-IN-FL-Fo5.- Panorámica del Triásico Superior en Facies Keuper (23) del Campo de Montiel. Desde el Km 19 de la comarcal de Villanueva de los Infantes a Puebla del Príncipe. La carretera es Sur-Norte y al fondo está La Almedina. Al este se observa la serie de lutitas rojas con canales intercalados (s) que onlapan sobre los materiales del paleozoico atribuidos al Devónico Superior (D). En el horizonte de La Almedina están las gravas y calizas de gasterópodos del Mioceno Superior (11).



21-33-IN-FL-Fo7.- Areniscas del relleno de un canal (s) en la unidad (23). Obsérvese que es erosivo sobre los carbonatos lacustres con los que finaliza la secuencia anterior. Tiene estratificación cruzada en surco de media escala y superficies de acreción lateral. Fluvial meandriforme.



21-33-IN-FL-Fo6.- Panorámica del Valle de La Almedina-Santa Cruz de los Cáñamos visto desde la plataforma del Mioceno Superior. Km 4 de la carretera de La Almedina a Santa Cruz de los Cáñamos. Pueden observarse los niveles de arenisca (s) con continuidad kilométrica alternando con los tramos lutíticos de la facies Keuper (23). Al fondo, los relieves paleozoicos de las areniscas del Devónico Superior (18) del Sinclinalio de Torre de Juan Abad, y en el margen izquierdo los carbonatos del Lías Inferior (26) sobre los que se encuentra Santa Cruz de los Cáñamos.



21-33-IN-FL-Fo8.- Cantera en yesos fibrosos, nodulares y de removilización diagenética, situada en el vértice del Yesero (984) al norte de Puebla del Príncipe. Facies Keuper, salinas de la Unidad (25).



21-33-IN-FL-Fo9.- En el mismo afloramiento sobre los yesos de la Fo8 se depositan dolomías carniolares (dc), brechoides a masivas del Lías Inferior, Unidad (26), y a techo una alternancia de calizas dolomíticas y margas bien estratificadas (c-m) de la Unidad 27.



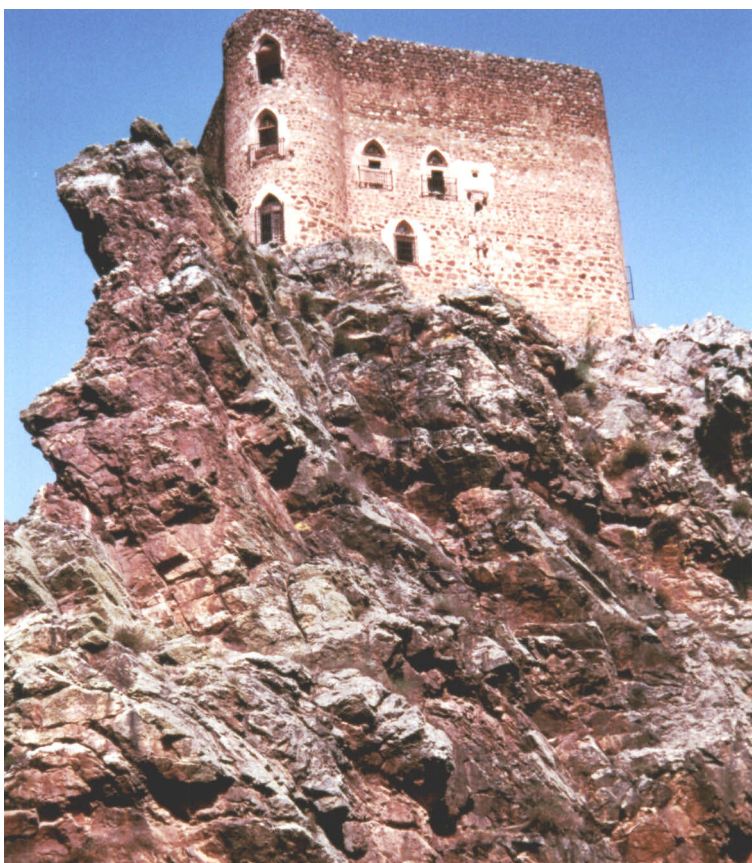
21-33-IN-FL-Fo10.- Canteras en Santa Cruz de Los Cáñamos. La base de la cantera se establece en las margas policolores y dolomías brechoídes amarillentas del Lías Inferior Medio (27), y se explotan las calizas dolomitizadas, bien estratificadas del Lías Medio-Superior (28).



21-33-IN-FL-Fo11.- En esta misma cantera, las primeras capas de la Unidad 28 tienen base erosiva con acúmulo de intraclastos y bioclastos dolomitizados y techo ondulado (*swaley*). Son capas de tormentas propias de un proceso transgresivo. También puede observarse cómo este tramo está afectado por un sistema de fracturas sinsedimentarias, de dirección N90° a N100°E/70°N, que se comportan como un sistema sinsedimentario con apertura de cuenca al norte durante el Lías Medio-Superior.



21-33-IN-FL-Fo12.- Las barras cuarcíticas constituidas por secuencias tempestíticas (U.C.S.) amalgamadas de tipo PH y PHX en las “Alternancias El Cano” (6), que se afloran en el Arroyo Vallejo de Ochoa (sector centrooriental).



21-33-IN-FL-05-04-Fo1.- Aspecto de la Cuarcita de Criadero (13) en el río Guadalén, a la altura del Castillo del Montizón. Tramo con bancos y capas decimétricas con estratificación cruzada plana de bajo ángulo.



21-33-IN-FL-03-01-Fo1.- Panorámica de la serie del Devónico Inferior y Superior aflorante en el Km 3 de la carretera local de Torre de Juan Abad a Villamanrique. De izquierda a derecha se observan: Un primer tramo de cuarcitas y areniscas cuarcíticas con “megaripples bedding” (CS) en una megasecuencia estrato-decreciente (F.U.S.); un segundo tramo (o) constituido por capas y bancos de arenas oolíticas y oolitas ferruginosas. Ambos tramos incluidos en la Unidad (16). Un tercer tramo (C) constitutivo de la Unidad (17) que son esencialmente calizas bioclásticas y/o biostrómicas, y finalmente en paraconformidad con los carbonatos afloran las arenas ferruginosas del Devónico Superior (DS) de la Unidad 18..



21-33-IN-FL-03-03-Fo1.- En la serie de la Foto 03-01, dentro del Devónico Inferior, el contacto entre la Unidad 16 con oolitas ferruginosas (o) con estratificación cruzada en surco y las calizas bioclásticas, es transicional con paso desde capas oolítico-bioclasticas-carbonatadas rojas a calizas bioclásticas y rosadas (C).



21-33-IN-FL-03-04-Fo1.- Areniscas ferruginosas con estratificación cruzada en surco y plana de ángulo variable de media a gran escala, atribuidas al Devónico Superior (DS) por su contenido en macrofauna. La presencia de depósitos del Devónico Superior con esta litología y el contenido faunístico encontrado, es considerado como un hallazgo litopaleontológico relevante en este sector de la Zona Surcentroibérica..



21-33-IN-FL-Fo13.- Pequeña cantera situada en el Km 21 de la carretera comarcal de Torrenueva a Torre de Juan Abad, en la que se han explotado las calizas de Gasterópodos del Mioceno Superior (30). En este sector los carbonatos ya tienen espesores decamétricos con intercapas o tramos margososos de color gris a beige.